

بررسی رفتار خزشی چندسازه هیبریدی ساخته شده از آرد چوب-پلیپروپیلن-نانورس

چکیده

این تحقیق با هدف بررسی تأثیر مقدار ذرات نانورس بر رفتار خزشی چندسازه حاصل از آرد چوب و پلیپروپیلن انجام شد. برای این منظور، آرد چوب با نسبت وزنی ۶۰ درصد با پلیپروپیلن محلوت شد و نانورس نیز در سه سطح ۰، ۳ و ۵ phc استفاده گردید، همچنین ماده سازگار کننده مالیک انیدرید پیوند شده با پلیپروپیلن به میزان ۲ phc در تمام ترکیب‌ها بکار رفت. درنهایت نمونه‌های آزمونی با استفاده از روش قالب‌گیری تزریقی ساخته شد. قبل از انجام آزمون خزش، مدول الاستیستیته و مقاومت مکانیکی چندسازه در حالت خمش و کشش اندازه‌گیری شده و سپس آزمون خزشی خمشی و کششی کوتاه‌مدت در مدت زمان ۱۲۰ دقیقه براساس ۲۰ درصد بار شکست نمونه‌ها تعیین شد. همچنین بهمنظور مطالعه نحوه پراکنش ذرات نانورس در چندسازه آرد چوب-پلیپروپیلن از دستگاه تفرق اشعه ایکس و میکروسکوپ الکترونی انتقالی استفاده شد. نتایج نشان داد با افزایش مقدار نانورس از ۰ به ۳، ۵ تغییر شکل خزشی، خرش نسبی و فاکتور خزش در چندسازه آرد چوب-پلیپروپیلن کاهش یافته و سپس با افزایش مقدار نانورس تا ۵ phc، افزایش می‌یابد. همچنین استفاده از ذرات نانورس سبب بهبود استحکام مکانیکی نمونه‌ها می‌گردد. مطالعات ریخت‌شناسی نانوچندسازه به کمک روش پراش اشعه ایکس و میکروسکوپ الکترونی انتقالی نشان داد که توزیع ذرات نانورس در زمینه پلیمری از نوع ساختار بین لایه‌ای است.

واژگان کلیدی: چندسازه، نانورس، خزش، استحکام مکانیکی، ریخت‌شناسی.

مقدمه

بازمانده‌های کشاورزی مورد استفاده قرار می‌گیرند. تقویت‌کننده‌های لیگنوسلولری در مقایسه با دیگر تقویت‌کننده‌های رقیب خود مانند الیاف شیشه و پرکننده‌های معدنی دارای مزیت‌های فراوانی از جمله دانسیته کمتر، مقاومت و مدول ویژه بالاتر، ساینده‌گی نسبی کم و سهولت اصلاح سطح الیاف بوده و ضمناً به طور گسترده‌ای در دسترس می‌باشند. همچنین این الیاف ارزان‌تر از الیاف مصنوعی بوده و می‌توانند در بسیاری از

چندسازه‌های چوب پلاستیک^۱ گروه جدیدی از مواد هستند که در طی سالیان اخیر مورد توجه بسیاری از محققین و نیز بخش عمده‌ای از صنعت قرار گرفته‌اند. در ساخت این مواد مرکب محدوده وسیعی از پلیمرهای گرمانرم از قبیل: پلیپروپیلن، پلی‌اتیلن، پلی‌وینیل کلراید، پلی‌استایرن، پلی‌استر به همراه مواد لیگنوسلولری یا

ویژگی های مکانیکی و حرارتی چندسازه های حاصل از الیاف بامبو- پلی اتیلن سنگین را موربد بررسی قرار دادند. نتایج مطالعات آن ها نشان داد که به هنگام افزودن ۱٪ نانورس مدول الاستیستیته خمثی، مدول الاستیستیته دینامیک و درجه کریستالیته افزایش یافت، درحالی که مقاومت به ضربه نمونه ها کاهش یافت [۷]. Hemmasi و همکاران در بررسی خواص نانو چندسازه چوب پلاستیک دریافت که با افزایش مقدار نانورس تا phc^3 ، مقاومت کشی و خمثی، مدول کشی و خمثی چندسازه به علت ضربی ظاهری بالای ذرات نانورس و افزایش فاصله بین لایه های سیلیکاتی رس افزایش بافت و سپس با افزودن مقدار phc^6 نانورس، این خواص به علت تجمع و تراکم ذرات نانورس و همچنین تشکیل توده های درهم رفته کاهش می یابند. از طرفی با افزایش مقدار نانورس تا phc^6 مقاومت به ضربه فاق دار، جذب آب و واکنشیدگی ضخامت چندسازه کاهش یافت [۸].

یکی از ویژگی های مهم و کاربردی چندسازه های چوب پلاستیک رفتار وابسته به زمان (خرش) آن ها است. به طور کلی، تغییر شکل وابسته به زمان ماده تحت یک بار ثابت و دمای ثابت به عنوان خرش شناخته می شود. با گذشت زمان ممکن است تغییر شکل خرشی از مقدار معینی در سازه ها بیشتر شده و سبب شکست شود؛ بنابراین خرش یکی از مشخصه های اصلی چندسازه های چوب پلاستیک است که منجر به عملکرد ضعیف در بعضی از کاربردها می شود. در بارگذاری کوتاه مدت و بلند مدت، در نظر گرفتن خرش و گسیختگی خرش (رفتار استمرار بار) چندسازه های چوب پلاستیک، امری اجتناب ناپذیر است. همچنین رفتار خوشی می تواند در فیزیک و نمای ظاهری چندسازه نیز اثرگذار باشد [۹]. با توجه به ساختار چندسازه چوب پلاستیک، عوامل مختلفی بر رفتار خوشی آن ها تأثیر می گذارند که از جمله آن می توان به شدت بار، میزان و نوع پرکننده، نوع پلاستیک و دست اول یا بازیافتی بودن آن، استفاده از سازگار کننده، رطوبت و دما اشاره کرد [۱۰-۱۲]. Mostafazadeh و همکاران اثر مقدار پرکننده و زمان غوطه ور سازی در آب را

کاربردهایی که در آن ها صرفه جویی در هزینه بر خواص مقاومتی محصول ارجح است، جایگزین الیاف مصنوعی گردند. از این رو در طی سال های اخیر استفاده از الیاف طبیعی به عنوان تقویت کننده و یا پرکننده در ساخت چندسازه های چوب پلاستیک مورد توجه بسیاری از محققین قرار گرفته است و تحقیقات بنیادی و کاربردی در زمینه پلاستیک های تقویت شده با مواد لیکنو سلولزی به سرعت در حال رشد است [۲-۱].

از طرفی امروزه با ورود فناوری نانو در عرصه علم مواد، پلیمرهای تقویت شده با پرکننده های نانو مورد توجه جوامع علمی و صنعتی قرار گرفته است. از نظر علمی شناخت رفتار و برهمن کنش مواد در محدوده نانو جزء اولویت های پژوهشی مراکز تحقیقاتی است. از دیدگاه صنعتی آنچه باعث جلب توجه بسیاری از صنایع به این موضوع شده، بهبود چشمگیر خواص نانو چندسازه ها است. از این رو نانو چندسازه ها در واقع طبقه جدیدی از چندسازه های پلیمری را تشکیل می دهند که در ساختار آن ها ذرات با ابعاد نانو مورداستفاده قرار می گیرد، که از جمله این نانوذرات می توان به ذرات نانورس^۱ اشاره کرد که به علت ابعاد خاص و ضربی ظاهری^۲ بالا در مقایسه با سایر پرکننده ها، در مقادیر بسیار اندک موجب بهبود خواص چندسازه های پلیمری می گردد. به همین خاطر در طی سال های اخیر استفاده از خاک رس اصلاح شده به عنوان پرکننده نانو در ساخت نانو چندسازه های پلیمری در حجم قابل توجهی مورداستفاده قرار می گیرد، به طوری که مصرف مقادیر اندکی از آن سبب افزایش مدول، استحکام، مقاومت گرمایی، کاهش نفوذ پذیری گاز، مقاومت در برابر اشتعال و بهبود خواص فیزیکی می گردد، همچنین این افزایش خواص در اکثر مواقع باعث کاهش خواص در موارد دیگر نمی شوند [۳-۵].

Wu و همکاران دریافتند که مقاومت خمثی و کششی چندسازه حاصل از آرد چوب - پلی اتیلن سنگین، تنها با افزودن ۲٪ نانورس در مقایسه با نمونه های فاقد نانورس به ترتیب به میزان $4/4$ و $1/2$ درصد افزایش می یابد. آن ها گزارش کردند که با اضافه نمودن نانورس به چندسازه مقدار جذب آب و واکنشیدگی ضخامت نمونه ها کاهش می یابد [۶]. Han و همکاران تأثیر استفاده از نانورس را بر

1- Nanoclay

2- Aspect Ratio

3- Per hundred compounds (phc)

تحقیق با هدف بررسی تأثیر ذرات نانورس بر رفتار خزشی چندسازه ساخته شده از پلیپروپیلن و آرد چوب صورت گرفت.

مواد و روش‌ها

مواد

در این تحقیق از پلیپروپیلن، تولید شده توسط شرکت پتروشیمی ارak با شاخص جریان مذاب $g/10min = 18$ و چگالی $0.9 g/cm^3$ با نام تجاری V30S به عنوان ماده پلیمری، از مالئیک اندیرید پیوند شده با پلیپروپیلن (PP-g-MA) از محصولات شرکت بلژیکی Solvay با شاخص جریان مذاب $g/10min = 64$ و نام تجاری Priex 20070 به عنوان عامل سازگار کننده و آرد چوب مخلوط پهن برگان تهیه شده از شرکت آریا سلوزل به عنوان ماده پرکننده با اندازه ابعاد $150 \times 150 \times 150$ میکرون استفاده گردید. همچنین از پودر نانورس ساخت شرکت خاک رس جنوی^۱ کشور آمریکا با نام تجاری کلوزیت A ۱۵ استفاده شد، که مشخصات و ساختار شیمیایی این ماده در جدول ۱ آورده شده است.

بر رفتار خزشی چندسازه‌های چوب پلاستیک از پلی‌اتیلن سنگین ضایعاتی و آرد تخته فیبر نیمه سنگین (MDF) را موردمطالعه قرار دادند. آن‌ها دریافتند که با افزایش مقدار آرد MDF مقاومت به خزش در چندسازه افزایش یافته، در حالی که در تمام سطوح پرکننده، با افزایش زمان غوطه‌وری خزش نمونه‌ها افزایش یافت [۱۲] و Bledzki Faruk دریافتند که چندسازه‌های چوب پلاستیک تیمارشده با سازگار کننده مدول خزشی بالاتری دارند و با افزایش دما مدول خزشی کاهش می‌یابد [۱۴]. Kazemi Najafi با بررسی تأثیر سطح بارگذاری و نوع پلاستیک بر رفتار خزشی چندسازه آرد چوب-پلی‌اتیلن سنگین این نتیجه رسیدند که تغییر شکل خزشی با افزایش سطح بارگذاری رابطه خطی ندارد و نیز خام یا بازیافتی بودن ماده پلیمری بر رفتار خزش آن مؤثر است [۱۵].

با توجه به اهمیت موضوع و رویکرد جهانی به سوی نانوچندسازه‌ها و ناشناخته بودن سازوکار این مواد، در سال‌های اخیر مطالعات بسیاری در راستای شناسایی خواص نانوچندسازه‌های پلیمری- خاک رس و توسعه کاربردی این گروه مواد شکل گرفته است. از این‌رو، این

جدول ۱- مشخصات و ساختار شیمیایی خاک رس اصلاح شده کلوزیت A

فاصله بین لایه‌ها (انگستروم)	غلظت اصلاح کننده (میلی اکی والان / ۱۰۰)	اصلاح کننده آبی	ساختار شیمیایی
۳۱/۵	۱۲۵	نمک آمونیوم چهارتایی دی‌متیل، تالو دی‌هیدروژنه	$\begin{array}{c} \text{CH}_3 \\ \\ \text{CH}_3 - \text{N}^+ - \text{HT} \\ \\ \text{HT} \end{array}$

در دقیقه انجام شد. پس از اختلاط مواد، چندسازه بی‌شکل تولید شده پس از سرد شدن دوباره آسیاب شده و به دستگاه قالب‌گیری تزریقی^۳ منتقل شده و این دستگاه پس از ذوب مجدد، ماده مذاب را به درون قالب‌هایی تزریق نموده و نمونه‌های آزمونی تهیه شدند.

روش‌ها

فرایند اختلاط و ساخت نمونه

پس از تهیه مواد اولیه و قبل از ساخت نمونه‌ها، ابتدا آرد چوب به مدت ۲۴ ساعت در دمای ۷۰ درجه سانتی‌گراد داخل اتو قرار گرفت تا جهت ساخت نمونه، کاملاً خشک گردد. سپس فرآیند اختلاط مواد مطابق جدول ۲ توسط دستگاه مخلوط‌کن داخلی^۲ با دمای اختلاط ۱۸۰ درجه سانتی‌گراد و سرعت اختلاط ۶۰ دور

¹- Southern Clay

²- Hakke Internal Mixer

³- Injection Molding

جدول ۲- درصد وزنی اجزای تشکیل دهنده ترکیب تیمارهای مختلف نانوچندسازه چوب پلاستیک

شماره تیمار	آرد چوب (%)	پلی پروپیلن (%)	سازگارکننده (phc)	نانورس (phc)
۱	۶۰	۴۰	۲	.
۲	۶۰	۴۰	۲	۳
۳	۶۰	۴۰	۲	۵

میزان جابجایی از دقیقه ۱ تا ۱۰ هر یک دقیقه، از دقیقه ۱۰ تا ۳۰ هر ۵ دقیقه، از ۳۰ تا ۶۰ هر ۱۰ دقیقه و از ۶۰ تا ۱۲۰ هر ۱۵ دقیقه اندازه گیری و ثبت شد. در آزمون خوش خمی، میزان جابجایی یک دقیقه پس از بارگذاری به عنوان خیز آنی و پس از ۱۲۰ دقیقه به عنوان خیز بیشینه در نظر گرفته شد.

در آزمون خوش مشخصه های زیر محاسبه و گزارش شده است.

خوش نسبی: به عنوان درصدی از خیز آنی با استفاده از معادله ۱ محاسبه شد.

$$R_c = \frac{J_t - J_o}{J_o} \times 100 \quad (1)$$

که در آن، R_c خوش نسبی (درصد)، J_t خوش در زمان t (میلی متر)، J_o خوش آنی (میلی متر) است.

فاکتور خوش (ضریب خوش): از این فاکتور به منظور پیش بینی خوش سازه زیر بار ثابت استفاده می شود و با استفاده از معادله ۲ محاسبه شد.

$$K_t = \frac{J_t}{J_o} \quad (2)$$

در آن، K_t فاکتور خوش برای بار ثابت در زمان t ، J_t خوش در زمان t (میلی متر)، J_o خوش آنی (میلی متر) است.

آزمون خوش کششی نیز بر روی نمونه های استاندارد کشش در سطح بارگذاری ۲۰ درصد بیشینه بار کششی در شرایط آزمایشگاه به مدت ۱۲۰ دقیقه بارگذاری کامل با ۵ تکرار انجام شد. میزان جابجایی در زمان های مختلف با استفاده از جابجایی سنج رقمی، مدل Mitutoyo با دقت ۱ میکرومتر اندازه گیری شد. ابعاد نمونه های آزمون کشش به عنوان ابعاد نمونه های خوش نیز انتخاب شد. نمونه ها به مدت ۱۲۰ دقیقه به وسیله تجهیزات اندازه گیری خوش کششی تحت بارگذاری به صورت دستی قرار گرفتند. پس

آزمون مکانیکی

آزمون خمش مطابق روش سه نقطه ای تعریف شده در استاندارد ASTM آینین نامه 790 D توسط دستگاه آزمون مکانیکی (اینسترون مدل ۱۱۸۶) با نرخ کرنش ۰/۰۱ میلی متر و سرعت بارگذاری ۵ میلی متر بر دقیقه انجام شد. ابعاد اسمی نمونه ها $5 \times 13 \times 100$ میلی متر و طول دهانه ۸۰ میلی متر بوده است. همچنین آزمون کشش مطابق استاندارد ASTM D 638 بر روی نمونه های دمبلي شکل با ابعاد $3 \times 10 \times 167$ میلی متر توسط دستگاه آزمون مکانیکی (اینسترون مدل ۱۱۸۶) انجام شد. در آزمون کشش طول دهانه ۱۰۰ میلی متر و سرعت بارگذاری ۲ میلی متر بر دقیقه در نظر گرفته شد. برای هر تیمار آزمون های خمش و کشش با ۵ تکرار انجام شد.

آزمون خوش

نمونه های خمشی استاندارد برای آزمون خوش خمی مورد استفاده قرار گرفت. سطح بارگذاری ۲۰ درصد بیشینه بار شکست نمونه ها (به دست آمده از آزمون خمش ایستا) تعیین شد. آزمون خوش خمی چهار نقطه ای (دو نقطه بار و دو نقطه تکیه گاه) با اندازه گیری پیوسته جابجایی نقطه میانی نمونه ها در مدت زمان ۱۲۰ دقیقه در شرایط آزمایشگاه در دمای 23 ± 1 درجه سانتی گراد و رطوبت نسبی 65 ± 2 درصد با ۵ تکرار انجام شد. میزان جابجایی در زمان های مختلف با استفاده از نشانگر رقمی، مدل Alton در وسط طول دهانه با دقت ۰/۰۱ میلی متر اندازه گیری شد. ابعاد نمونه های آزمون خمش به عنوان ابعاد نمونه های خوش نیز انتخاب شد.

نمونه ها به مدت ۱۲۰ دقیقه به وسیله تجهیزات اندازه گیری خوش خمی (قاب فلزی با طول دهانه قابل تغییر و مجهر به جابجایی سنج) تحت بارگذاری به صورت دستی قرار گرفتند. پس از اعمال بار به نمونه ها،

هلند با شدت ولتاژ ۱۰۰ KV استفاده شد. نمونه برداری توسط چاقوی الماسه دستگاه اولترامیکروتوم مدل ساخت کشور آلمان با ضخامت ۶۰ نانومتر از نمونه گرفته شد.

نتایج و بحث ریخت‌شناسی

الگوی پراش پرتو اشعه ایکس در کامپوزیت آرد چوب-پلیپروپیلن نشان داد که استفاده از ذرات نانورس موجب تشکیل ساختار بین لایه‌ای در نانو کامپوزیت چوب پلاستیک گردیده است (شکل ۱). همان‌طور که در جدول ۳ مشاهده می‌شود با افزایش مقدار نانورس تا phc^3 ، فاصله بین لایه‌های سیلیکاتی افزایش یافته و سپس با افزایش مقدار نانورس تا phc^5 فاصله بین لایه‌ها کاهش می‌یابد. به‌نحوی که با افزایش مقدار نانورس تا phc^3 زاویه پیک تفرق اشعه ایکس در نانوچندسازه تغییر کرده و به سمت زوایایی کوچک‌تر حرکت کرده و به‌تبع آن فاصله بین لایه‌ها افزایش یافته است، درحالی که با افزایش مقدار نانورس تا phc^5 ، زاویه پیک ایجادشده افزایش یافته و درنتیجه فاصله بین لایه‌ها کاهش می‌یابد. از طرفی ساختار تشکیل شده ذرات رس در ماده زمینه پلیمری از نوع بین‌لایه‌ای است، زیرا زاویه پیک تفرق اشعه ایکس مربوط به ناحیه بلوری نانورس کاملاً از بین نرفته و فقط به سمت زوایایی کوچک‌تر کاهش یافته است. به عبارت دیگر فاصله بین لایه‌های سیلیکاتی نانورس به دلیل نفوذ زنجیره‌های پلیمری افزایش یافته ولی از هم‌گسیختگی کامل لایه‌های نانوچندسازه است، این در حالی است که اگر ساختار نانوچندسازه از نوع ساختار لایه‌لایه‌ای باشد، به دلیل متلاشی شدن ساختار بلوری، زاویه پیک تفرق اشعه ایکس کاملاً از بین خواهد رفت.

به منظور مشاهده ساختار نانوچندسازه و تأیید نتایج آزمون اشعه ایکس، از تصاویر میکروسکوپ الکترونی انتقالی استفاده شد. در شکل ۲، نحوه پراکنش ذرات نانورس در چندسازه آرد چوب-پلیپروپیلن از دستگاه میکروسکوپ الکترونی عبوری مدل EM 208 ساخت شرکت Philips

از اعمال بار به نمونه‌ها، میزان جابجایی تا ۶۰ دقیقه اول هر ۵ دقیقه و از دقیقه ۶۰ تا ۱۲۰ هر ۱۵ دقیقه اندازه‌گیری و ثبت شد. در این آزمون نیز خیز آنی (۳۰ ثانیه اول)، خیز بیشینه و پارامترهای خرزش نسبی و فاکتور خرزش محاسبه و گزارش شده است.

آزمون تفرق اشعه ایکس^۱

پراش پرتو اشعه ایکس امکان شناخت نوع ساختار کریستالوگرافی (ساختار لایه‌لایه‌ای^۲ و بین لایه‌ای^۳) ذرات نانورس در چندسازه‌های پلیمری و چگونگی توزیع ذرات رس را در زمینه ماتریس پلیمری فراهم می‌کند. از کاربردهای بسیار مهم این روش، محاسبه فاصله بین لایه‌ها است، که با استفاده از معادله ۳ (معادله برآگ) به صورت زیر محاسبه شود:

$$d = \frac{n\lambda}{2 \sin \theta} \times 100 \quad (3)$$

که در آن، d فاصله بین لایه‌های رسی، n عدد صحیح، θ زاویه پراکنش پرتو اشعه و λ طول موج اشعه است. و نسبت باز شدن لایه‌ها با استفاده از معادله ۴ به صورت زیر محاسبه می‌شود:

$$\text{RI} = \frac{d - d_0}{d_0} \times 100 \quad (4)$$

که در آن، d فاصله بین لایه‌ها در نانوچندسازه و d_0 فاصله بین لایه‌ها در نانورس خالص است. در این تحقیق آزمون اشعه ایکس توسط دستگاه اشعه ایکس با تشعشع لامپ CuKa، طول موج 0.154 \AA نانومتر، گام 0.02° درجه، سرعت $0.3^\circ/\text{د}\text{ر}\text{ج}\text{ه}$ بر دقیقه و زاویه تابش $2\theta = 12^\circ - 10^\circ$ درجه انجام شد. نمونه‌ها به صورت ورقه‌ای با ابعاد $1 \times 10 \text{ میلی‌متر}$ جهت انجام این آزمون تهیه شدند.

میکروسکوپ الکترونی عبوری^۴

به منظور مطالعه نحوه پراکنش ذرات نانورس در چندسازه آرد چوب-پلیپروپیلن از دستگاه میکروسکوپ الکترونی عبوری مدل EM 208 ساخت شرکت

¹ - X-ray diffraction

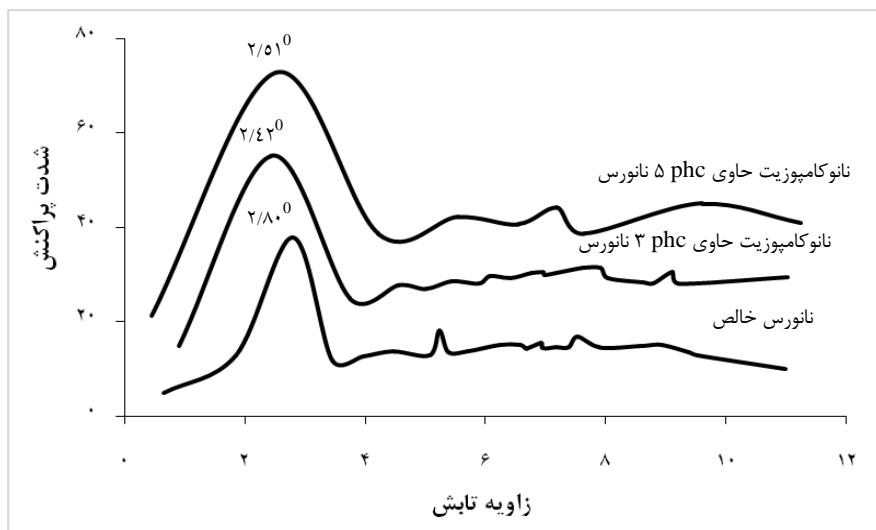
² - Exfoliation

³ - Intercalation

⁴ - Transmission electron microscopy

این عدم جدایش کامل لایه‌ها موجب ایجاد ساختار بین لایه‌ای در نانوچندسازه شده است، که صحت این تصاویر توسط نتایج آزمون اشعه ایکس نیز تأیید شد.

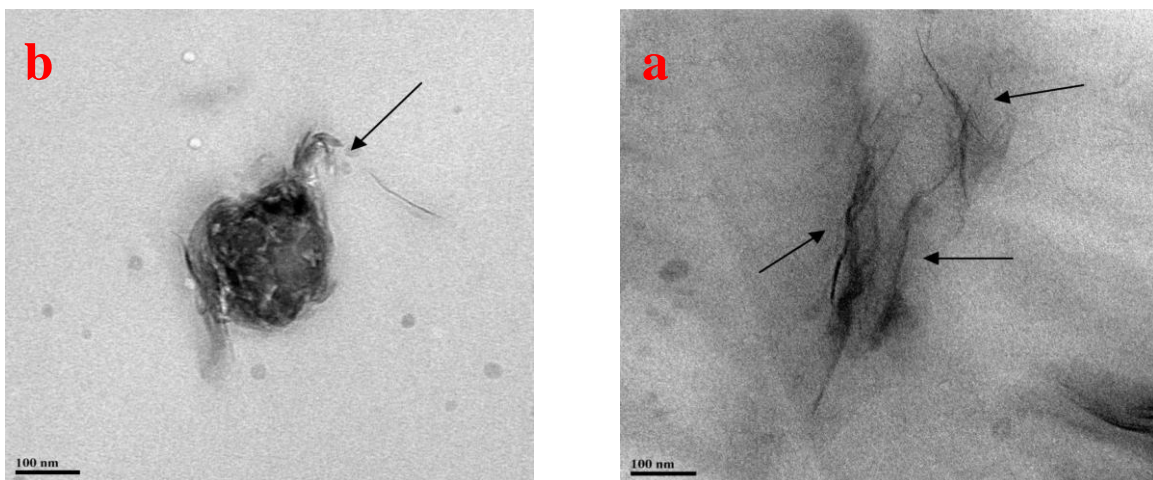
تجمع و درهم‌رفتگی ذرات نانورس افزایش یافته و فاصله بین لایه‌های سیلیکاتی در مقایسه با چندسازه حاوی phc ۳ نانورس کمتر است. از طرفی در شکل مشاهده می‌شود که لایه‌های رس بهطور کامل از یکدیگر جدا نشده‌اند و



شکل ۱- الگوی پراش پرتو اشعه ایکس نانورس خالص و نانوچندسازه‌های حاوی درصدهای مختلف نانورس

جدول ۳- اثر مقدار نانورس بر کیفیت پراکنش لایه‌های سیلیکاتی در کامپوزیت آرد چوب- پلیپروپیلن

نانورس (phc)	زاویه پیک تفرق اشعه (آنگستروم)	فاصله بین لایه‌ها (نانومتر)	شاخص بار شدن لایه‌ها (%)
خالص	۲/۸۰	۳/۱۵	-
۳	۲/۴۲	۳/۶۵	۱۵/۸۷
۵	۲/۵۱	۳/۵۱	۱۱/۴۳



شکل ۲- میکروگراف میکروسکوپ الکترونی چندسازه آرد چوب- پلیپروپیلن (a) phc ۳ نانورس (b) phc ۵ نانورس

پلاستیک مرتبط دانست. ضریب ظاهری بالای ذرات نانورس در قابلیت تقویت‌کنندگی چندسازه نقش دارد و موجب می‌شود تا سطح مشترک بین دو فاز افزایش پیداکرده و درنتیجه خواص مکانیکی چندسازه افزایش یابد. همچنین که ذرات نانورس به دلیل تشکیل ساختار بین‌لایه‌ای موجب پراکنش بهتر ذرات در ماده زمینه پلیمری شده و از طریق بهبود برهم‌کنش با تعداد بیشتری از زنجیره‌های پلیمر موجب افزایش مقاومت خمشی و کششی چندسازه می‌شود [۱۶-۱۹]. از طرفی با افزایش مقدار نانورس تا ۵ phc به علت تجمع و تراکم ذرات نانورس و همچنین تشکیل توده‌های درهم‌رفته (مطابق شکل ۲b) استحکام خمشی و کششی چندسازه کاهش می‌یابد [۸-۱۸، ۱۹].

خواص مکانیکی

همان‌طور که در جدول ۴ مشاهده می‌شود با افزایش مقدار نانورس از ۰ به ۳، مقاومت خمشی و کششی، مدول خمشی و کششی چندسازه چوب پلاستیک افزایش یافته و سپس با افزایش مقدار نانورس تا ۵ phc، کاهش می‌یابد. تأثیر ذرات نانورس بر خواص مکانیکی نانوچندسازه‌های پلیمری به شکل، اندازه، ضریب ظاهری، نوع، مقدار، ساختار بلوری، کیفیت و مقدار پراکنش پراکنده شدن ذرات نانورس و نحوه اتصال آن‌ها با پلیمر در سطح اتصال بستگی دارد [۸-۱۵]. از این‌رو می‌توان افزایش ویژگی‌های خمشی و کششی نانوچندسازه را در هنگام استفاده از ۳ phc نانورس، به ضریب ظاهری بالای ذرات نانورس و تشکیل ساختار بین‌لایه‌ای در نانوچندسازه چوب

جدول ۴- تأثیر مقدار ذرات نانورس بر ویژگی‌های مکانیکی چندسازه آرد چوب- پلیپروپیلن

نانورس (phc)	مقاومت خمشی (مگاپاسگال)	مدول خمشی (مگاپاسگال)	مقاومت کششی (مگاپاسگال)	مودول کششی (مگاپاسگال)
۰	۲۰/۶۳	۲۱۴۴/۱۹	۱۷/۴۲	۳۱۵۶/۱۹
۳	۲۳/۷۸	۲۳۰۸/۹۶	۲۱/۹۶	۳۴۱۲/۴۸
۵	۲۲/۱۴	۲۲۶۳/۱۱	۲۰/۷۵	۳۳۵۰/۴۱

آنی و بیشینه چندسازه کاهش یافته و سپس با افزودن مقدار نانورس تا ۵ phc، افزایش می‌یابد. به‌نحوی که بیشترین تغییرشکل مربوط به چندسازه فاقد نانورس و کمترین مقدار آن مربوط به چندسازه دارای ۳ phc است.

خرش

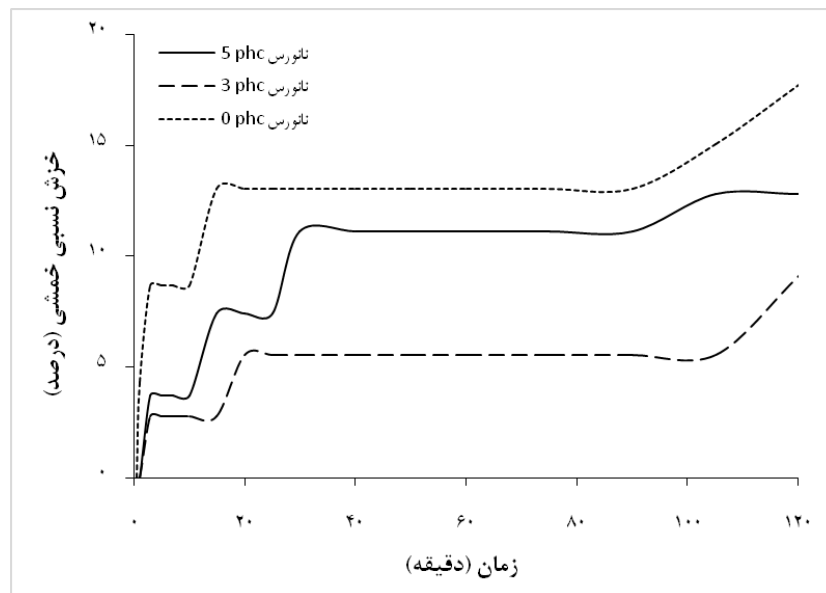
نتایج حاصل از تغییرشکل آنی و بیشینه چندسازه آرد چوب- پلیپروپیلن تحت آزمون خرس خمشی و کششی در جدول ۵ آورده شده است. همان‌طور که مشاهده می‌شود با افزایش مقدار نانورس از ۰ به ۳ تغییرشکل

جدول ۵- تأثیر مقدار ذرات نانورس بر تغییرشکل آنی و بیشینه چندسازه آرد چوب- پلیپروپیلن

نانورس (phc)	خرش خمشی	خرش کششی	خرش کششی	خرش خمشی
۰	۰/۱۱	۰/۲۳	۱/۵	تغییرشکل آنی (میکرومتر)
۳	۰/۰۸	۰/۱۷	۱	تغییرشکل بیشینه (میکرومتر)
۵	۰/۰۹	۰/۱۹	۱/۲۵	تغییرشکل آنی (میلی‌متر)

نانورس تا ۵ phc، افزایش می‌یابد. به‌نحوی که بیشترین مقدار خرس نسبی خمشی مربوط به چندسازه فاقد نانورس و کمترین مقدار آن مربوط به چندسازه دارای ۳ phc است.

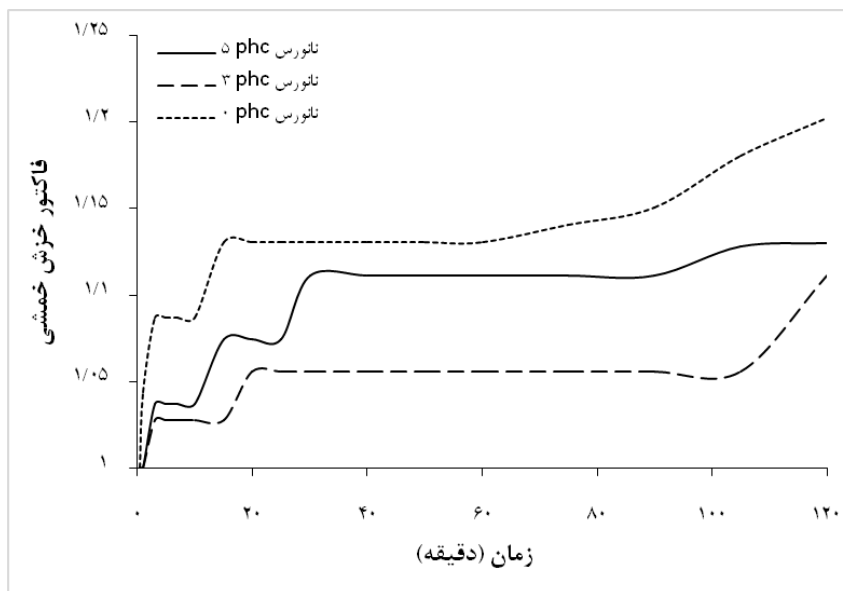
اثر مقدار نانورس بر خرس نسبی خمشی در چندسازه آرد چوب- پلیپروپیلن در شکل ۳ نشان داده شده است. همان‌طور که مشاهده می‌شود با افزایش مقدار نانورس از ۰ به ۳ phc خرس نسبی کاهش یافته و سپس با افزودن مقدار



شکل ۳- اثر مقدار نالورس بر خزش نسبی خمshi چندسازه آرد چوب- پلیپروپیلن

مقدار نالورس تا ۵ phc، افزایش می‌یابد. به‌نحوی که بیشترین مقدار فاکتور خزش خمshi مربوط به چندسازه فاقد نالورس و کمترین مقدار آن مربوط به چندسازه دارای ۳ phc نالورس است.

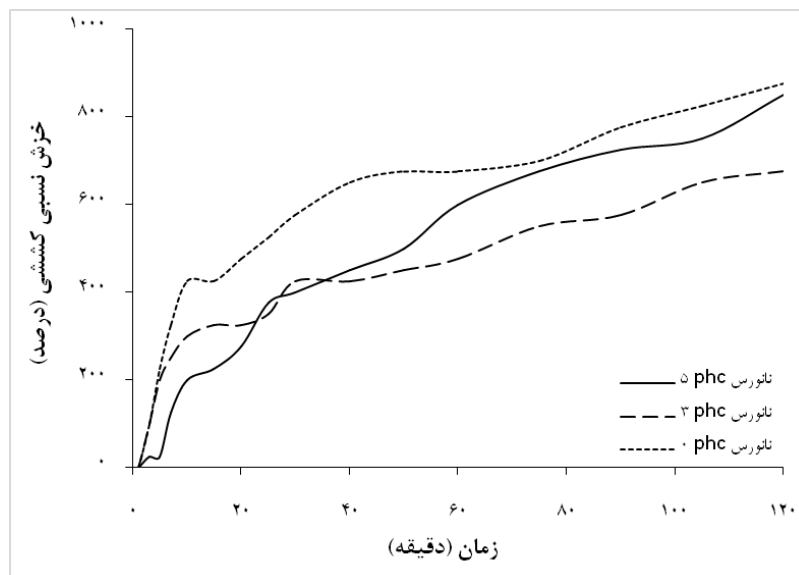
اثر مقدار نالورس بر فاکتور خزش خمshi در چندسازه آرد چوب- پلیپروپیلن در شکل ۴ نشان داده شده است. همان‌طور که مشاهده می‌شود با افزایش مقدار نالورس از ۰ به ۳ phc فاکتور خزش کاهش یافته و سپس با افزودن



شکل ۴- اثر مقدار نالورس بر فاکتور خزش خمshi چندسازه آرد چوب- پلیپروپیلن

نانورس تا phc ۵، افزایش می‌یابد. به‌نحوی که بیشترین مقدار خزش نسبی کششی مربوط به چندسازه فاقد نانورس کمترین مقدار آن مربوط به چندسازه دارای phc ۳ است.

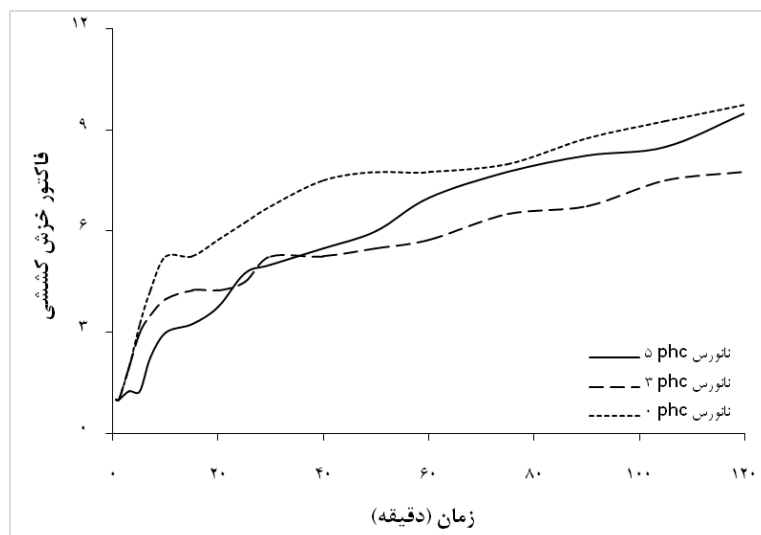
اثر مقدار نانورس بر خزش نسبی کششی در چندسازه آرد چوب-پلیپروپیلن در شکل ۵ نشان داده شده است. همان‌طور که مشاهده می‌شود با افزایش مقدار نانورس از ۰ به ۳ phc خزش نسبی کاهش یافته و سپس با افزودن مقدار



شکل ۵- اثر مقدار نانورس بر خزش نسبی کششی چندسازه آرد چوب-پلیپروپیلن

بیشترین مقدار فاکتور خزش کششی مربوط به چندسازه فاقد نانورس و کمترین مقدار آن مربوط به چندسازه دارای phc ۳ نانورس است.

اثر مقدار نانورس بر فاکتور خزش کششی در چندسازه آرد چوب-پلیپروپیلن در شکل ۶ نشان داده شده است. همان‌طور که مشاهده می‌شود با افزایش مقدار نانورس از ۰ به ۳ phc فاکتور خزش کاهش یافته و سپس با افزودن مقدار نانورس تا phc ۵، افزایش می‌یابد. به‌نحوی که



شکل ۶- اثر مقدار نانورس بر فاکتور خزش کششی چندسازه آرد چوب-پلیپروپیلن

در هم رفته، مقاومت‌های مکانیکی و به تبع آن مقاومت به خزش در چندسازه چوب پلاستیک کاهش می‌یابد.

نتیجه‌گیری

- ۱- با افزایش مقدار نانورس از $0\text{ }\mu\text{m}$ به $3\text{ }\mu\text{m}$ ، تغییر شکل خزشی، خزش نسبی و فاکتور خزش در چندسازه آرد چوب-پلیپروپیلن کاهش یافته و سپس با افزایش مقدار نانورس تا $5\text{ }\mu\text{m}$ افزایش می‌یابد.
- ۲- استفاده از ذرات نانورس سبب بهبود استحکام مکانیکی نمونه‌ها می‌گردد.
- ۳- مطالعات ریخت‌شناسی نانوچندسازه به کمک روش پراش اشعه ایکس و میکروسکوپ الکترونی انتقالی نشان داد که توزیع ذرات نانورس در زمینه پلیمری از نوع ساختار بین لایه‌ای است.

به طور کلی نتایج حاصل از آزمون خزش نشان داد که با افزایش مقدار نانورس از $0\text{ }\mu\text{m}$ به $3\text{ }\mu\text{m}$ ، رفتار خزشی در چندسازه آرد چوب-پلیپروپیلن کاهش می‌یابد. به عبارت دیگر با افزایش مقدار آرد چوب از $0\text{ }\mu\text{m}$ به $3\text{ }\mu\text{m}$ مقاومت خزشی در چندسازه چوب پلاستیک افزایش می‌یابد. رفتار خزشی چندسازه چوب پلاستیک تا حدود زیادی تحت تأثیر مدول کشسانی و مقاومت مکانیکی آن است و اغلب مواد با مدول بالا تغییر شکل خزشی کمتری دارند [۱۵-۹]، لذا می‌توان انتظار داشت مقاومت خزشی در چندسازه آرد چوب-پلیپروپیلن مطابق با نتایج به دست آمده از ویژگی‌های مکانیکی در این تحقیق، به هنگام استفاده از $3\text{ }\mu\text{m}$ نانورس به دلیل ضریب ظاهری بالای ذرات نانورس و تشکیل ساختار بین لایه‌ای از میزان بالاتری برخوردار باشد. از طرفی با افزایش مقدار نانورس تا $5\text{ }\mu\text{m}$ به علت تجمع ذرات نانورس و تشکیل توده‌های

مراجع

- [1] Rowell, R.M., Sandi, A.R., Gatenholm, D.F. and Jacobson, R.E., 1997. Utilization of natural fibers in plastic composites: Problem and opportunities in lignocellulosic composites. *Journal of Composite*, 18: 23-51.
- [2] Oksman, K. and Sain, M., 2008. *Wood-Polymer Composites*, Woodhead Publishing Ltd, Great Abington, Cambridge, UK, 366 p.
- [3] Tjong, S.C., (2006). Structural and mechanical properties of polymer nanocomposites; A review, *Journal of Material Science Engineering*, 53: 73-197.
- [4] Utracki, L.A., Sepehr, M. and Boccaderi, E., 2007. Synthetic layered nanoparticles for polymeric nanocomposites (PNCs); A review, *Journal of Polymer Additives Technology*, 8: 1-37.
- [5] Alexandre, M. and Dubois, P., 2008. Polymer-layered silicate nanocomposites: preparation, properties and use of a new class of materials; A review. *Journal of Material Science Engineering*, 28: 1-63.
- [6] Wu, Q., Lei, Y., Clemons, C.M., Yao, F., Xu, Y. and Lian, K., 2007. Properties of HDPE/Clay/Wood Nanocomposites. *Journal of Plastic Technology*, 27(2): 108-115.
- [7] Han, G., Lei, Y., Wu, Q., Kojima, Y. and Suzuki, S., 2008. Bamboo-fiber filled high density polyethylene composites; Effect of coupling treatment and nanoclay. *Journal of Polymer Environment*, 21: 1567-1582.
- [8] Hemmasi, A., Khademieslam, H., Talaiepoor, M., Kord, B. and Ghasemi, I., 2010. Effect of nanoclay on the mechanical and morphological properties of wood polymer nanocomposite. *Journal of Reinforced Plastic and Composites*, 29(7): 964-971.
- [9] Ghahri, S. and Kazemi Najafi, S. 2013. A study on creep behavior of wood flour-recycled polypropylene composite. *Iranian Journal of Wood and Paper Industries* 3(2): 1-12. (In Persian).

- [10] Lee, S., Yang, H., Kim, H., Jong, C., Lim, B. and Lee, J., 2004. Creep behavior and manufacturing parameters of wood flour filled polypropylene composite. *Composite Structures*, (65): 459-469.
- [11] Sain, M., Balatinecz, J. and Law, S., 2000. Creep fatigue in engineered wood fiber and plastic composites. *Journal of Applied Polymer Science*, 77(2): 260-268.
- [12] Xu, Y., Wu, Q., Lei, Y. and Yao, F., 2010. Creep behavior of bagasse fiber reinforced polymer composites. *Bioresource Technology*, 101: 3280–3286.
- [13] Mostafazadeh, M., Kazemi Najafi, S., Chaharmahali M. and Hajihassani, R., 2009. Study behavior creep composites made mixes particle board and medium density fiber board-recycled from HDPE waste and effect water fiber board absorption on Composites. *Iranian Journal of Wood and Paper Science Research*, 24(2): 194-205. (In Persian).
- [14] Bledzki, A.K. and Faruk, O., 2004. Creep and impact properties of wood fiber- polypropylene composite: influence of temperature and moisture content. *Composite Science and Technology*, 64: 693-700.
- [15] Najafi A. and Kazemi Najafi S., 2009. Effect of load levels and plastic types on creep behavior of wood sawdust/ HDPE composite. *Journal of Reinforced Plastic Composites*, 28: 2645-2653.
- [16] Lei, Y., Wu, Q., Clemons, C.M., Yao, F. and Xu Y., 2007. Influence of nanoclay on properties of HDPE/wood composites. *Journal of Applied Polymer Science*, 18: 1425-1433.
- [17] Zhao, Y., Wang, K., Zhu, F., Xue, P. and Jia, M., 2006. Properties of poly (vinylchloride)/ woodflour/montmorillonite composites: effects of coupling agents and layered silicate. *Journal of Polymer Degradation Stability*, 91: 2874-2883.
- [18] Kord, B., Hemmasi, A. and Ghasemi, I., 2011. Properties of PP/wood flour/ organomodified montmorillonite nanocomposite. *Wood Science and Technology*, 45: 111-119.

A study on creep behavior of a wood flour-polypropylene-nanoclay hybrid composite

Abstract

In this study, the effect of nanoclay particles content on creep behavior of the wood flour-polypropylene composite was investigated. To meet this objective, wood flour was mixed with polypropylene at the weight ratio of 60:40. The concentration was varied as 0, 3 and 5 per hundred compounds (phc) for nanoclay. The amount of coupling agent (PP-g-MA) was fixed at 2 phc for all formulations. The samples were made by melt compounding and injection molding. First, the modulus of elasticity, flexural and tensile strength of composites were measured before performing the creep test. Then, the short term flexural and tensile creep tests were performed at 20% of ultimate load in 12 minutes. The morphology of the nanocomposites was examined by using x-ray diffraction (XRD) and transmission electron microscopy (TEM). Results indicated that the creep deflection, relative creep and creep factor increases with the increase of nanoclay up to 3 phc and then decreases with addition of 5 phc nanoclay. Also, the effect of nanoclay was positive in terms of enhancing the mechanical properties of the composites. The morphological studies with XRD and TEM revealed that nanoclay was distributed as intercalation structure in polymer matrix.

Key words: composite, nanoclay, creep, mechanical strength, morphology.

B. Kord^{1*}
A. Sheikholeslami²
A. Najafi³

¹Assistant Professor, Department of Paper and Packaging Technology, Faculty of Chemistry and Petrochemical Engineering, Standard Research Institute (SRI), Karaj, Iran.

²MSc Graduate , Department of Wood Science and Technology, Chalous Branch, Islamic Azad University, Chalos, Iran.

³Associate Professor, Department of Wood Science and Technology, Chalous Branch, Islamic Azad University, Chalos, Iran.

Corresponding author:
b.kord@standard.ac.ir

Received: 2015.02.17

Accepted: 2015.04.28